



Аннотация

В работе выделен класс каскадов с регулярной динамикой, допускающих топологическую классификацию в комбинаторных терминах, построен канонический представитель каждого класса топологической сопряженности на множестве таких систем и получена оценка эффективности комбинаторных инвариантов.

Определение 1. Пусть M^n — связное гладкое замкнутое многообразие размерности $n \geq 1$. Диффеоморфизм $f : M^n \rightarrow M^n$, называется диффеоморфизмом Морса-Смейла, если выполняются следующие условия:

1. небульдающее множество Ω_f конечно и состоит из гиперболических периодических точек;
2. инвариантные многообразия W_p^s, W_q^u любых точек $p, q \in \Omega_f$ пересекаются трансверсально.

В серии работ 2000-2019 года Х. Бонатти, В.З. Гринеса, О.В. Починки при участии Ф. Лауденбаха и В.С. Медведева получена полная топологическая классификация диффеоморфизмов Морса-Смейла на трехмерных многообразиях (см. обзор [2]). Инвариант, который предлагался в этой работе, названный схемой диффеоморфизма, представляет собой набор, включающий пространство орбит ограничения исследуемого каскада на некоторое подмножество несущего многообразия и проекции двумерных сепаратрис в это пространство.

В работе [4] было введено понятие тривиальности схемы и доказано, что диффеоморфизм Морса-Смейла, схема которого тривиальна, включается в топологический поток. В настоящей работе показывается, что диффеоморфизмы Морса-Смейла с тривиальной схемой и не имеющие гетероклинических пересечений, допускают топологическую классификацию в комбинаторных терминах, аналогично потокам Морса-Смейла.

Представим многообразие M^3 в виде объединения множеств

$$A_f = \left(\bigcup_{\sigma \in \Omega_f^1} W_\sigma^u \right) \cup \left(\bigcup_{\omega \in \Omega_f^0} \omega \right), R_f = \left(\bigcup_{\sigma \in \Omega_f^2} W_\sigma^s \right) \cup \left(\bigcup_{\alpha \in \Omega_f^3} \alpha \right), V_f = M^3 \setminus (A_f \cup R_f).$$

Из [3] следует, что множества A_f, R_f, V_f являются связными, причем множество A_f является аттрактором, R_f — репеллером.

Обозначим через $\hat{V}_f = V_f/f$ пространство орбит действия f на V_f и через $p_f : V_f \rightarrow \hat{V}_f$ естественную проекцию, $p_f(x) = O_f(x) = \bigcup_{m \in \mathbb{Z}} f^m(x) \subset \hat{V}_f$.

Положим $\hat{L}_f^s = \bigcup_{\sigma \in \Omega_f^1} p_f(W_\sigma^s \setminus \sigma)$, $\hat{L}_f^u = \bigcup_{\sigma \in \Omega_f^2} p_f(W_\sigma^u \setminus \sigma)$.

Определение 2. Набор $S_f = (\hat{V}_f, \hat{L}_f^s, \hat{L}_f^u, \eta_f)$ называется схемой диффеоморфизма $f \in G(M^3)$.

Определение 3. Схемы S_f и $S_{f'}$ диффеоморфизмом $f, f' \in G(M^3)$ называются эквивалентными, если существует гомеоморфизм $\hat{\varphi} : \hat{V}_f \rightarrow \hat{V}_{f'}$ такой, что $\hat{\varphi}(\hat{L}_f^s) = \hat{L}_{f'}^s$, $\hat{\varphi}(\hat{L}_f^u) = \hat{L}_{f'}^u$ и $\eta_f = \eta_{f'} \hat{\varphi}_*$.

Утверждение 1. [1]

Диффеоморфизмы $f, f' \in G(M^3)$ топологически сопряжены тогда и только тогда, когда их схемы эквивалентны.

Обозначим через \mathbb{S}_g ориентируемую замкнутую поверхность рода $g = \frac{|\Omega_f^1 \cup \Omega_f^2| - |\Omega_f^0 \cup \Omega_f^3| + 2}{2}$ и положим $V_g = \mathbb{S}_g \times \mathbb{R}$, $\hat{V}_g = \mathbb{S}_g \times \mathbb{S}^1$.

Определение 4. Схема S_f диффеоморфизма $f \in G(M^3)$ называется тривиальной, если существует гомеоморфизм $\hat{\psi}_f : \hat{V}_f \rightarrow \hat{V}_g$ такой, что для каждой компоненты связности λ множества $\hat{L}_f^s \cup \hat{L}_f^u$ найдется простая замкнутая дуга $c_\lambda \subset \mathbb{S}_g$ такая, что $\hat{\psi}_f(\lambda) = c_\lambda \times \mathbb{S}^1$.

Утверждение 2. Пусть $f \in G(M^3)$. Тогда:

1. его небульдающее множество состоит из неподвижных точек;
2. ограничение f на каждое инвариантное многообразие любой седловой неподвижной точки является сохраняющим ориентацию;
3. замыкания сепаратрис являются локально плоскими дугами или сферами.

Пусть $G(M^3)$ — класс диффеоморфизмов Морса-Смейла без гетероклинических пересечений, вкладывающихся в топологический поток. Положим $\Omega_f^i = \{p \in \Omega_f \mid \dim W_p^u = i\}$, $i \in \{0, 1, 2, 3\}$. Обозначим через \mathcal{L}_f множество всех замыканий двумерных инвариантных многообразий седловых точек диффеоморфизма f . Так как $f \in G(M^3)$, то любой элемент множества \mathcal{L}_f является локально плоской сферой. Пусть \mathcal{D}_f обозначает множество всех компонент связности многообразия

$$M^3 \setminus \left(\bigcup_{\sigma_1 \in \Omega_f^1} cl W_{\sigma_1}^s \cup \bigcup_{\sigma_2 \in \Omega_f^2} cl W_{\sigma_2}^u \right)$$

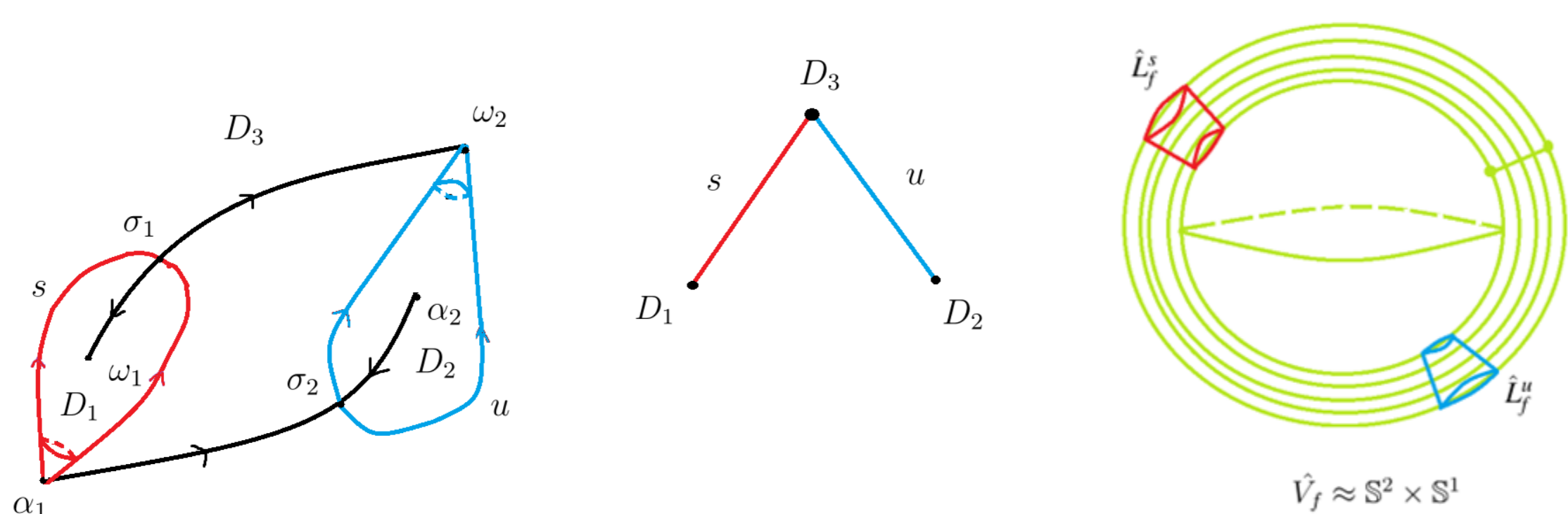


Рис. 1: Фазовый портрет диффеоморфизма $f \in G(M^3)$, его двухцветный граф и схема

Определение 5. Двухцветным графом каскада $f \in G(M^3)$ назовем граф Γ_f со следующими свойствами:

1. множество $V(\Gamma_f)$ вершин графа Γ_f находится во взаимно-однозначном соответствии с множеством \mathcal{D}_f , множество $E(\Gamma_f)$ ребер графа Γ_f находится во взаимно-однозначном соответствии с множеством \mathcal{L}_f ;
2. вершины v_i, v_j инцидентны ребру $e_{i,j}$ тогда и только тогда, когда соответствующие им области D_i, D_j имеют общую границу;
3. ребро $e_{i,j}$ имеет цвет s (или u) если оно соответствует сфере $cl W_{\sigma_1}^s \in \mathcal{L}_f$ ($cl W_{\sigma_2}^u \in \mathcal{L}_f$).

Так как схема S_f диффеоморфизма f тривиальна, то существует гомеоморфизм $\hat{\psi}_f : \hat{V}_f \rightarrow \hat{V}_g$. Обозначим $\hat{\psi}_f^{-1}(\mathbb{S}_g \times \{x\}) = \tilde{\mathbb{S}}_g^x$, где $x \in \mathbb{S}^1$. Тогда $p_f^{-1}(\tilde{\mathbb{S}}_g^x) = \bigcup_{i \in \mathcal{D}_f} \tilde{\mathbb{S}}_g^i$ счетное множество попарно непересекающихся поверхностей в V_f , гомеоморфных \mathbb{S}_g , и существует характеристическая поверхность $\tilde{\mathbb{S}}_g^0 = \Sigma_f$ такая, что $\tilde{\mathbb{S}}_g^i = f^i(\tilde{\mathbb{S}}_g^0)$.

Граф Γ_f вкладывается в Σ_f следующим образом. Каждая сфера $L \in \mathcal{L}_f$ (а следовательно, и каждая область $D \in \mathcal{D}_f$) пересекает Σ_f в точности по одной компоненте связности. Выберем по точке в каждой из компонент связности множества $\bigcup_{D \in \mathcal{D}_f} (D \cap \Sigma_f)$.

Если в границу обеих областей $d_i, d_j \in \bigcup_{D \in \mathcal{D}_f} (D \cap \Sigma_f)$ входит сфера $l_{i,j} \in \bigcup_{L \in \mathcal{L}_f} (L \cap \Sigma_f)$, то соединим выбранные точки, лежащие в областях d_i, d_j , произвольной гладкой кривой, трансверсально пересекающей сферу $l_{i,j}$. Полученный образ графа Γ_f будем также обозначать через Γ_f .

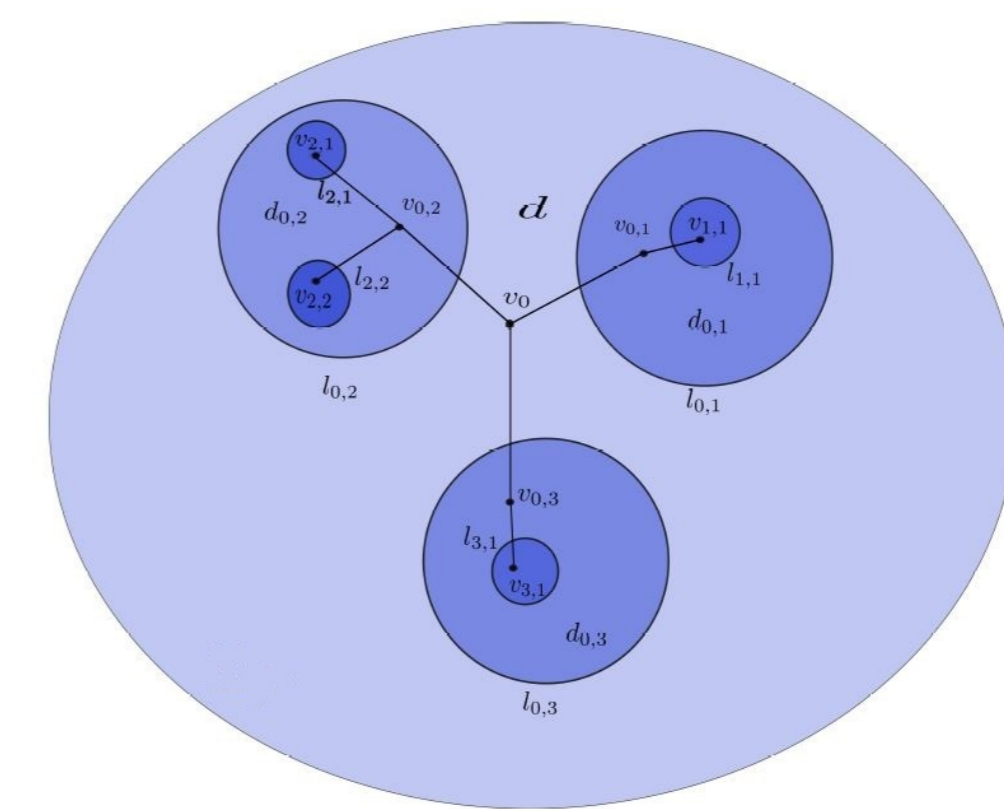


Рис. 2: Вложение графа Γ_f в Σ_f

Теорема 1. Диффеоморфизмы $f, f' \in G(M^3)$ топологически сопряжены тогда и только тогда, когда их графы Γ_f и $\Gamma_{f'}$ изоморфны.

Ключевой момент доказательства теоремы 1 заключается в проверке того факта, что из изоморфизма графов $\Gamma_f, \Gamma_{f'}$ следует существование гомеоморфизма $h : \Sigma_f \rightarrow \Sigma_{f'}$, переводящего множество $\mathcal{L}_f \cap \Sigma_f$ в множество $\mathcal{L}_{f'} \cap \Sigma_{f'}$.

Теорема 2. Для любого графа Γ , ребра которого окрашены в два цвета произвольным образом, существует диффеоморфизм $f \in G(M^3)$, двухцветный граф Γ_f которого изоморфен графу Γ посредством изоморфизма $\zeta : \Gamma_f \rightarrow \Gamma$ такого, что $P_f = \zeta^{-1} P_\zeta$.

Обозначим через k число седловых неподвижных точек диффеоморфизма, через l — число узловых неподвижных точек диффеоморфизма и положим $g_f = g_{f'} = \frac{l-k+2}{2}$.

Теорема 3. Если $g_f = 0$, то графы диффеоморфизмов $f, f' \in G(M^3)$ Γ_f и $\Gamma_{f'}$ являются деревьями и существует алгоритм различения графов $\Gamma_f, \Gamma_{f'}$ за время $O(n)$, где n — число вершин.

Если $g_f > 0$, то графы диффеоморфизмов $f, f' \in G(M^3)$ Γ_f и $\Gamma_{f'}$ имеют в точности g_f циклов и существует алгоритм различения графов $\Gamma_f, \Gamma_{f'}$ за время $O(n^{O(g_f)})$, где n — число вершин.

Доказательство теоремы 3 основывается на построении обычных графов по двухцветному графу и использовании доказанных оценок различения обыкновенных графов описанных в работах [5] и [6].

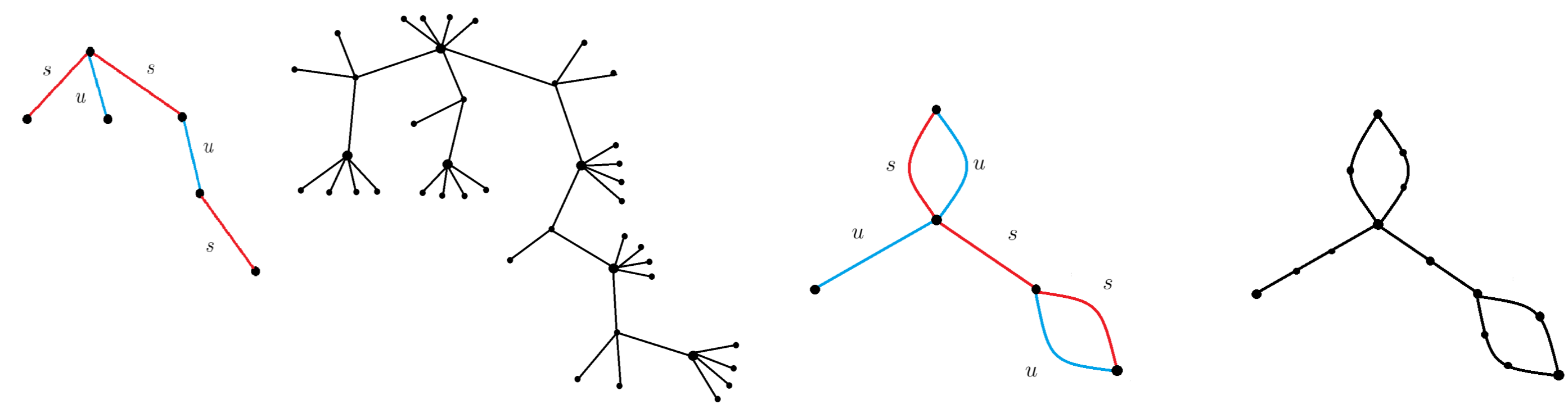


Рис. 3: Алгоритм построения графа Γ_f

Список литературы

[1] Х. Бонатти, В. З. Гринес, О.В. Починка, Классификация диффеоморфизмов Морса-Смейла с конечным множеством гетероклинических орбит на 3-многообразиях, Дифференциальные уравнения и динамические системы, Сборник статей, Тр. МИАН, 250, Наука, М., (2005), 5–53; англ. пер.: Ch.

[2] Bonatti C., Grines V., Pochinka O. Topological classification of Morse-Smale diffeomorphisms on 3-manifolds Duke Mathematical Journal. (2019). Vol. 168. No. 13. P. 2507-2558.

[3] Гринес В. З., Жужома Е.В., Медведев В.С., Починка О.В. Глобальные аттрактор и репеллер диффеоморфизмов Морса-Смейла, Тр. МИАН, 2010, 111-133

[4] В. З. Гринес, Е. Я. Гуревич, В. С. Медведев, О. В. Починка, О включении диффеоморфизмов Морса-Смейла на 3-многообразии в топологический поток, Матем. сб., (2012), том 203, номер 12, 81–104

[5] Hopcroft, J.E. and Wong, J.K. Linear Time Algorithm for Isomorphism of Planar Graphs, Proceedings of the 6th Annual ACM Symposium on Theory of Computing, (1974), 172-184.

[6] Miller G. Isomorphism testing for graphs of bounded genus Los Angeles. (1980). 225-235 c.